

Faujasite 제올라이트의 CO 흡착에 대한 양자화학적 연구

박두선 · 이종렬* · 김종택**

대성산소(주) 대성저온연구소

*산업과학기술연구소

**경북대학교 공업화학과

(1989년 4월 24일 접수, 1989년 7월 4일 채택)

Quantum Chemical Study of Interactions of CO Molecules with Faujasite Zeolites

Doo Seon Park, Jong Ryul Lee*, and Jong Taik Kim**

Cryogenic Research Institute Dae Sung Sung San So Co., Ltd.

*Research Institute of Science and Technology

**Department of Industrial Chemistry, Kyungpook University

(Received 24 April 1989; accepted 4 July 1989)

요 약

여러 가지 양이온이 교환된 faujasite type 제올라이트와 CO 분자간의 상호작용과 제올라이트의 전자구조를 교환된 양이온의 종류, 제올라이트 골격 내의 Si/Al의 비에 따라 양자화학적 방법의 하나인 CNDO/2 법을 사용하여 계산하였다.

제올라이트 골격 내의 전자밀도는 Si/Al의 비가 감소할수록 증가하였으며, T-O 간의 결합차수는 Si/Al의 비가 감소함에 따라 전반적으로 감소하였다.

제올라이트에 교환되어 있는 양이온과 CO 간의 상호작용은 양이온의 정전기적 장의 세기와 밀접한 관계가 있었으며, $\text{Be}^{2+} > \text{Mg}^{2+} > \text{Li}^+ > \text{Ca}^{2+} > \text{Na}^+ > \text{H}^+$ 의 순서이었다. 제올라이트에 CO 가 흡착되면 CO 의 C-O 간 결합차수는 증가하였으며, 이것은 IR 결과와 좋은 상관관계를 나타내었다.

Abstract— The CNDO/2 method was used to investigate the electronic structure and the interaction of CO molecules with the exchanged cations in the zeolites which have various Si/Al ratios.

The electron densities of zeolites increased and the bond orders of T-O generally decreased with decreasing the Si/Al ratio. The strength of bond between CO molecules and the exchanged cations in the zeolites increased in the following order: $\text{H}^+ < \text{Na}^+ < \text{Ca}^{2+} < \text{Li}^+ < \text{Mg}^{2+} < \text{Be}^{2+}$. The interaction strength increased obviously with the electrostatic field of cations. The C-O bond orders of CO molecules interacting with the exchanged cations in the zeolites increased compared to those of free CO molecule. This was in a good agreement with IR results.

1. 서 론

도 중요하여 많은 연구가 수행되어져 왔다[1, 2].

최근들어 CO 가스를 원료로 하는 CI 화학공업에서 촉매용 담체나 제철공정에서 발생하는 부생가스 중 CO

제올라이트는 흡착제로써 뿐만 아니라 촉매용 담체로

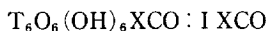
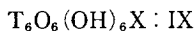
가스를 선택 흡착분리하는 흡착제로 세올라이트가 많이 이용되고 있다. 이와 같은 담체 및 흡착제로 세올라이트를 사용할 때 CO 가스와 세올라이트간의 interaction이 세올라이트 골격 내의 Si/Al의 비, 교환된 양이온의 종류 등에 어떻게 영향을 받는지에 대하여 양자화학적 방법의 하나인 CNDO/2법을 사용하여 살펴보았다. 또한 계산으로부터 얻어진 CO의 C-O 간 결합차수는 문헌으로부터의 IR data와 상관관계를 조사하였다.

2. 모델 및 계산

계산에 사용된 세올라이트의 모델은 S6R(Single 6 ring)으로서 faujasite type의 S(II) Site에 해당된다 (Fig. 1a).

세올라이트에 교환되어 있는 양이온은 1가 이온이 H^+ , Li^+ , Na^+ 이었고, 2가이온은 Be^{2+} , Mg^{2+} , Ca^{2+} 이었다.

이들 모델의 분자식과 기호는 다음과 같이 정의하였다.



여기서 T는 Tetrahedral Si 또는 Al을 나타내며, X는 세올라이트에 교환되어 있는 양이온을 뜻한다.

위의 모델에 대한 기하학적 구조와 각 원자에 대한 numbering은 Fig. 1과 같다. Fig. 1에서 CO 분자는 6개의 T원자가 이루는 평균 평면을 관통하는 축상에 위치하며 CO의 각 원자에 붙인 번호는 Fig. 1의 (b)와 같다.

세올라이트 골격에 대한 기하학적 파라미터는 X-ray

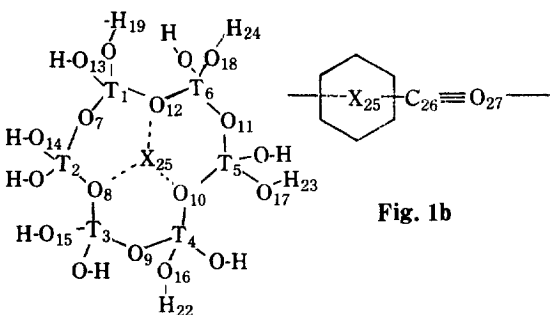


Fig. 1b

Fig. 1a. Schematic depiction of cluster I with their numbering: X stands for the cations located in the S_{II} cationic site, T stands for Si or Al atoms.

data에서 얻은 값으로 $Si-O=1.61$, $Al-O=1.75\text{\AA}$, $<O-T-O=109.5$ 이었으며, 이를 값은 계산하는 동안 고정하여 사용하였다. 그 외에 O-H의 길이는 CNDO/2 계산으로 최적화된 값으로 $Si-O-H$ 에서는 1.025\AA , $Al-O-H$ 에서는 1.035\AA 를 사용하였다. 여기서 H원자는 termination을 위한 수단으로 사용하였다.

세올라이트 골격 내의 Si/Al비는 Fig. 1의 Cluster I에서 T원자를 Al로 치환하여 다음과 같이 변화시켰다.

Si/Al	1	2	5	∞
Al원자	T2, T4, T6	T3, T6	T6	

CO 분자의 C-O 결합길이도 CNDO/2 계산으로 최적화된 값인 1.191\AA 을 사용하였고, CO 분자가 세올라이트를 interaction 할 때의 C-O 결합 길이는 역시 최적화된 값을 얻었다.

3. 결과 및 고찰

3-1. 세올라이트의 전자구조

여러 가지 양이온이 교환된 Cluster I, IX 및 CO가 흡착된 Cluster IXCO의 각 원자에 대한 전하밀도를 Si/Al비에 따라 Table 1-6에 나타내었다. Table 1-6에 있는 숫자 1-27은 Fig. 1a에 있는 각 원자에 매겨져 있는 번호를 뜻한다. 모든 경우에 대하여 Al의 전자밀도는 Si의 그것보다 큼을 알 수 있다(Less positive). Table 1에서 맨 첫째열의 것은 Si/Al의 비가 ∞ , 즉 모든 T가 Si일 때이다. 제 2열은 Si/Al의 비가 5, 즉 6개의 T 중 하나가 Al일 때이다.

세올라이트 골격 내의 T원자가 Al로 동형 치환되면 다른 Si원자의 전자밀도는 증가(Less positive)하는데, 이것은 Al원자의 치환으로 인하여 골격 내의 negative charge가 풍부해졌기 때문이다. 이러한 현상은 Table 1의 제 2열 및 Table 2, 3의 제 1열을 보면 알 수 있듯이 Si/Al비가 감소할수록, 즉 Al의 양이 많아질수록 골격 내의 Si원자의 전자밀도는 증가한다. 즉 Si의 전자밀도는 $Si/Al=\infty$ 일 때 1.66에서 Si/Al 의 비가 5, 2, 1일 때 각각 1.64, 1.53, 1.45로 증가(Less positive)하였다.

3-2. 세올라이트의 결합차수

여러 가지 양이온이 교환된 Cluster I, IX 및 CO가 흡착된 IXCO의 각 원자간의 결합차수를 Si/Al의 비

Table 1. CNDO/2 atomic charges, q, for interaction of CO molecules with cluster I-X (Si/Al=5)

	I ^{a)}	I	I H	I HCO	I Li	I LiCO	I Na	I NaCO
q(1)	1.6584	1.5580	1.6898	1.6789	1.6702	1.6618	1.5953	1.5951
q(2)	1.6584	1.6322	1.6601	1.6587	1.6885	1.6896	1.6491	1.6498
q(3)	1.6584	1.6396	1.6569	1.6572	1.6940	1.6939	1.6558	1.6558
q(4)	1.6584	1.6283	1.6456	1.6476	1.6924	1.6901	1.6473	1.6472
q(5)	1.6584	1.5462	1.5801	1.5768	1.5926	1.5950	1.5765	1.5776
q(6)	1.6584	1.3594	1.3416	1.3249	1.3752	1.3805	1.3479	1.3502
q(7)	- .7227	- .7448	- .7217	- .7151	- .7112	- .7240	- .7414	- .7432
q(8)	- .7519	- .7237	- .7605	- .7808	- .7481	- .7182	- .7495	- .7409
q(9)	- .7227	- .7354	- .7240	- .7184	- .6939	- .7027	- .7286	- .7296
q(10)	- .7519	- .7327	- .7669	- .7875	- .7756	- .7457	- .7630	- .7552
q(11)	- .7227	- .6836	- .7005	- .6926	- .6171	- .6280	- .6592	- .6582
q(12)	- .7519	- .7076	- .5189	- .5639	- .6972	- .6648	- .7163	- .7058
q(13)	- .5997	- .5985	- .5826	- .5800	- .5917	- .5964	- .5918	- .5922
q(14)	- .5997	- .6012	- .5951	- .5927	- .5914	- .5954	- .5940	- .5947
q(15)	- .5997	- .6024	- .5986	- .5966	- .5924	- .5964	- .5952	- .5963
q(16)	- .5997	- .6000	- .5972	- .5949	- .5892	- .5938	- .5930	- .5940
q(17)	- .5997	- .6021	- .5982	- .5967	- .5945	- .5986	- .5954	- .5962
q(18)	- .5997	- .6014	- .5871	- .5853	- .5928	- .5979	- .5900	- .5908
q(19)	.1392	.1020	.1743	.1766	.1445	.1394	.1339	.1323
q(20)	.1392	.1175	.1501	.1515	.1535	.1486	.1458	.1439
q(21)	.1392	.1219	.1415	.1425	.1561	.1515	.1488	.1470
q(22)	.1392	.1770	.1369	.1378	.1530	.1486	.1460	.1443
q(23)	.1392	.1015	.1240	.1251	.1359	.1311	.1322	.1306
q(24)	.1392	.0282	.0695	.0700	.0578	.0535	.0571	.0557
q(25)	-	-	.1429	.2339	.1928	- .1162	.4760	.3064
q(26)	-	-	-	.0152	-	.3394	-	.1679
q(27)	-	-	-	- .0169	-	.0386	-	- .0102

a) all T are Si

Table 2. CNDO/2 atomic charges, q, for interaction of CO molecules with cluster I-X (Si/Al=2)

	I	I H	I HCO	I Li	I LiCO	I Na	I NaCO
q(1)	1.5314	1.6603	1.6516	1.6462	1.6408	1.5915	1.5864
q(2)	1.5343	1.5482	1.5451	1.6500	1.6453	1.5912	1.8668
q(3)	1.3371	1.3476	1.3476	1.3732	1.3745	1.3321	1.3348
q(4)	1.5268	1.5430	1.5445	1.6027	1.5999	1.5765	1.5694
q(5)	1.5294	1.5616	1.5602	1.6056	1.6022	1.5792	1.5723
q(6)	1.3277	1.3237	1.3188	1.3645	1.3654	1.3225	1.3351
q(7)	- .7013	- .7164	- .7241	- .7442	- .7165	- .7047	- .7066
q(8)	- .6844	- .7191	- .7153	- .6509	- .6904	- .7600	- .7552
q(9)	- .7034	- .6935	- .7102	- .7394	- .7197	- .7289	- .7096
q(10)	- .7226	- .7650	- .7465	- .6272	- .6536	- .7190	- .7324
q(11)	- .7035	- .7057	- .7301	- .7403	- .7206	- .7298	- .7105
q(12)	- .6765	- .5461	- .5645	- .6463	- .6900	- .7523	- .7475
q(13)	- .6015	- .5838	- .5855	- .5987	- .5959	- .5958	- .5947
q(14)	- .6025	- .5932	- .5943	- .5994	- .5970	- .5960	- .5951
q(15)	- .6034	- .5995	- .5992	- .5934	- .5918	- .5862	- .5870
q(16)	- .6024	- .5997	- .6001	- .5998	- .5986	- .5965	- .5959
q(17)	- .6028	- .6001	- .6001	- .6001	- .5990	- .5965	- .5962

Table 2. Continued

	I	I H	I HCO	I Li	I LiCO	I Na	I NaCO
q(18)	-.6042	-.5910	-.5902	-.5942	-.5926	-.5869	-.5880
q(19)	.0838	.1546	.1535	.1271	.1223	.1146	.1126
q(20)	.0813	.1147	.1157	.1251	.1203	.1123	.1104
q(21)	.0111	.0303	.0310	.0413	.0382	.0372	.0368
q(22)	.0805	.0990	.0994	.1132	.1101	.1110	.1094
q(23)	.0808	.1048	.1051	.1134	.1104	.1115	.1095
q(24)	.0117	.0544	.0542	.0418	.0386	.0377	.0372
q(25)	—	.1301	.2594	.1703	-.1397	.4677	.3613
q(26)	—	—	.0784	—	.2574	—	.1244
q(27)	—	—	-.0243	—	.0150	—	-.0167

Table 3. CNDO/2 atomic charges, q, for interaction of CO molecules with cluster I-X (Si/Al=1)

	I	I H	I HCO	I Li	I LiCO	I Na	I NaCO
q(1)	1.4490	1.5456	1.5454	1.5560	1.5530	1.5028	1.5082
q(2)	1.3137	1.3145	1.3113	1.3507	1.3492	1.3148	1.3129
q(3)	1.4490	1.4881	1.4911	1.5457	1.5412	1.5093	1.5136
q(4)	1.3137	1.3228	1.3208	1.3518	1.3516	1.3121	1.3100
q(5)	1.4490	1.4870	1.4897	1.5707	1.5658	1.5083	1.5127
q(6)	1.3137	1.3148	1.3098	1.3543	1.3541	1.3084	1.3066
q(7)	-.7224	-.6579	-.6960	-.6796	-.7019	-.7310	-.7429
q(8)	-.7147	-.7493	-.7559	-.7217	-.6836	-.7018	-.6773
q(9)	-.7224	-.7189	-.7246	-.6907	-.7086	-.7300	-.7403
q(10)	-.7147	-.7336	-.7388	-.7081	-.6667	-.7017	-.6760
q(11)	-.7224	-.7262	-.7481	-.6746	-.6982	-.7312	-.7420
q(12)	-.7147	-.5418	-.5733	-.71'3	-.6675	-.7016	-.6642
q(13)	-.6002	-.5840	-.5838	-.5963	-.6018	-.5990	-.6024
q(14)	-.6007	-.5968	-.5943	-.5968	-.6007	-.5958	-.5980
q(15)	-.6002	-.6012	-.6005	-.5987	-.6034	-.5990	-.6033
q(16)	-.6007	-.6001	-.5991	-.5954	-.6002	-.5961	-.5983
q(17)	-.6002	-.5992	-.5977	-.5974	-.6030	-.5991	-.6030
q(18)	-.6007	-.5918	-.5912	-.5942	-.5998	-.5963	-.5986
q(19)	.0474	.1185	.1157	.0893	.0853	.0808	.0806
q(20)	-.0106	.0175	.0172	.0176	.0142	.0163	.0146
q(21)	.0474	.0682	.0692	.0849	.0819	.0809	.0808
q(22)	-.0106	.0066	.0064	.0194	.0159	.0157	.0140
q(23)	.0474	.0739	.0751	.0924	.0881	.0813	.0810
q(24)	-.0106	.0328	.0316	.0224	.0184	.0167	.0150
q(25)	—	.1240	.2373	.1562	-.1460	.4156	.3158
q(26)	—	—	.0983	—	.3740	—	.2014
q(27)	—	—	-.0637	—	-.1056	—	-.1032

에 따라 Table 7-12에 나타내었다. 제올라이트 꿀결 내의 Al의 양이 많아지면 전자밀도는 일률적으로 증가한 반면 각 원자간의 결합차수는 그렇지 않았다. 즉 Al-O 결합차수는 Si/Al의 비가 5, 2, 1로 감소(Al 양의 증가)에 따라 0.59, 0.61, 0.65로 각각 증가하였다 [Table 7의 제2열 P(5-11), Table 8, 9의 제1열 P(6-11)]. 그러나 Al-O 결합과 이웃한 Si-O의 결합차수는 Si/Al의 비가 5, 2, 1일 때 각각 1.05, 1.02,

0.99로 감소하였다[Table 7의 제2열 P(5-11), Table 8, 9의 제1열 P(5-11)]. 이때 Si-O의 결합은 꿀결 내의 Al이 전혀 없을 때의 Si-O 결합차수인 0.84 [Table 7의 제1열 P(6-11)]보다 훨씬 증가한 값이다.

또한 Al-O의 결합차수는 Si-O의 결합차수에 비해 월등히 낮아졌다. 즉 제올라이트 꿀결 내의 Al의 양이 많아지면 T-O 간의 결합력도 전반적으로 볼 때 약해진다. 이것은 제올라이트 영역인 IR 흡수띠로 Al의 양

Table 4. CNDO/2 atomic charges, q, for interaction of CO molecules with cluster I-X (Si/Al = 5)

	I Be	I BeCO	I Mg	I MgCO	I Ca	I CaCO
q(1)	1.7060	1.7088	1.6479	1.6457	1.5772	1.5772
q(2)	1.6900	1.6918	1.6579	1.6561	1.6367	1.6371
q(3)	1.6865	1.6791	1.6679	1.6690	1.6438	1.6441
q(4)	1.6936	1.6865	1.6626	1.6611	1.6364	1.6367
q(5)	1.5729	1.5680	1.5916	1.6007	1.5650	1.5653
q(6)	1.3384	1.3390	1.3308	1.3322	1.3311	1.3318
q(7)	-.7133	-.6904	-.7410	-.7463	-.7702	-.7699
q(8)	-.7388	-.7528	-.7762	-.7597	-.7764	-.7737
q(9)	-.6953	-.6792	-.7394	-.7573	-.7555	-.7548
q(10)	-.8075	-.8315	-.7505	-.7219	-.7901	-.7878
q(11)	-.5867	-.5667	-.6957	-.7492	-.6854	-.6841
q(12)	-.6173	-.6267	-.7253	-.7265	-.7428	-.7397
q(13)	-.5832	-.5880	-.5869	-.5887	-.5990	-.5904
q(14)	-.5862	-.5862	-.5875	-.5924	-.5916	-.5920
q(15)	-.5869	-.5855	-.5880	-.5927	-.5928	-.5920
q(16)	-.5809	-.5839	-.5836	-.5907	-.5904	-.5908
q(17)	-.5872	-.5955	-.5908	-.5841	-.5951	-.5956
q(18)	-.5868	-.5394	-.5777	-.5760	-.5878	-.5884
q(19)	.1903	.1909	.1748	.1732	.1493	.1486
q(20)	.1858	.1930	.1801	.1787	.1624	.1617
q(21)	.1832	.1878	.1816	.1811	.1657	.1650
q(22)	.1814	.1767	.1783	.1778	.1627	.1620
q(23)	.1646	.1565	.1642	.1614	.1472	.1466
q(24)	.0910	.0870	.0896	.0869	.0728	.0721
q(25)	.5009	.3254	.9610	.9070	1.5053	1.4598
q(26)	—	.3754	—	.1649	—	.1045
q(27)	—	.0824	—	.0511	—	-.0278

Table 5. CNDO/2 atomic charges, q, for interaction of CO molecules with cluster I-X (Si/Al = 2)

	I Be	I BeCO	I Mg	I MgCO	I Ca	I CaCO
q(1)	1.6952	1.6872	1.6474	1.6391	1.5736	1.5669
q(2)	1.6916	1.6852	1.6362	1.6339	1.5719	1.5651
q(3)	1.3357	1.3398	1.3233	1.3264	1.3172	1.3167
q(4)	1.5692	1.5683	1.5864	1.5930	1.5582	1.5520
q(5)	1.5724	1.5713	1.5912	1.5955	1.5604	1.5543
q(6)	1.3280	1.3319	1.3152	1.3178	1.3084	1.3078
q(7)	-.7201	-.7194	-.7578	-.7495	-.7423	-.7778
q(8)	-.6511	-.6560	-.7215	-.7317	-.7710	-.7313
q(9)	-.5902	-.5835	-.7458	-.7567	-.7365	-.7164
q(10)	-.8572	-.8549	-.6937	-.6847	-.7627	-.7736
q(11)	-.5895	-.5828	-.7500	-.7581	-.7366	-.7161
q(12)	-.6589	-.6635	-.7242	-.7321	-.7643	-.7273
q(13)	-.5878	-.5910	-.5963	-.5961	-.5949	-.5964
q(14)	-.5891	-.5926	-.6043	-.5962	-.5955	-.5973
q(15)	-.5939	-.5982	-.5863	-.5859	-.5860	-.5923
q(16)	-.5894	-.5935	-.5979	-.5935	-.5955	-.5971
q(17)	-.5898	-.5940	-.5958	-.5938	-.5955	-.5973
q(18)	-.5939	-.5982	-.5893	-.5868	-.5872	-.5932
q(19)	.1696	.1620	.1541	.1503	.1293	.1287
q(20)	.1677	.1599	.1522	.1482	.1267	.1262
q(21)	.0697	.0642	.0699	.0659	.0551	.0551
q(22)	.1432	.1381	.1420	.1394	.1267	.1260
q(23)	.1435	.1383	.1428	.1396	.1267	.1260
q(24)	.0700	.0644	.0683	.0659	.0549	.0552
q(25)	.4356	.1396	.9209	.8011	1.4943	1.4527
q(26)	—	.3819	—	.1698	—	.0880
q(27)	—	.0361	—	.0222	—	-.0480

Table 6. CNDO/2 atomic charges, q, for interaction of CO molecules with cluster I-X (Si/Al = 2)

	I Be	I BeCO	I Mg	I MgCO	I Ca	I CaCO
q(1)	1.5687	1.5637	1.5650	1.5540	1.5015	1.4907
q(2)	1.3519	1.3504	1.3172	1.3109	1.3026	1.3014
q(3)	1.5679	1.5592	1.5653	1.5537	1.5053	1.5029
q(4)	1.3456	1.3457	1.3141	1.3101	1.3004	1.2998
q(5)	1.5932	1.5847	1.5653	1.5532	1.5027	1.5002
q(6)	1.3473	1.3487	1.3152	1.3112	1.3014	1.2998
q(7)	-.6824	-.6646	-.7776	-.6400	-.7314	-.7588
q(8)	-.7091	-.7157	-.6817	-.8257	-.7640	-.7265
q(9)	-.7117	-.6951	-.7778	-.6397	-.7315	-.7576
q(10)	-.6598	-.6847	-.6813	-.8267	-.7641	-.7243
q(11)	-.6860	-.6561	-.7776	-.6399	-.7325	-.7601

q(12)	-.6494	-.6833	-.6812	-.8260	-.7642	-.7213
q(13)	-.5887	-.5918	-.5965	-.5948	-.5972	-.5997
q(14)	-.5955	-.5977	-.5940	-.5919	-.5927	-.5947
q(15)	-.5960	-.5982	-.5970	-.5950	-.5977	-.6005
q(16)	-.5921	-.5945	-.5940	-.5919	-.5928	-.5952
q(17)	-.5910	-.5960	-.5967	-.5953	-.5974	-.6001
q(18)	-.5917	-.5954	-.5941	-.5917	-.5922	-.5953
q(19)	.1260	.1201	.1174	.1151	.0997	.0966
q(20)	.0429	.0386	.0456	.0429	.0364	.0329
q(21)	.1125	.1078	.1187	.1161	.0998	.0966
q(22)	.0481	.0435	.0457	.0429	.0364	.0328
q(23)	.1321	.1249	.1185	.1161	.0997	.0967
q(24)	.0550	.0488	.0459	.0431	.0365	.0328
q(25)	.3999	.1210	.8921	.7973	1.3987	1.4081
q(26)	—	.3792	—	.2023	—	.1024
q(27)	—	.0262	—	-.0136	—	-.0689

Table 7. Bond orders, p, for interaction of CO molecules with cluster I-X(Si/Al=5)

	I ^a	I	I H	I HCO	I Li	I LiCO	I Na	I NaCO
p(1- 7)	.8352	.7331	.9157	.8907	.7307	.7230	.7035	.7016
p(1-12)	.8205	1.0528	.5813	.5781	.8781	.8934	.9667	.9717
p(1-13)	.7404	.6969	.7978	.7915	.7375	.7361	.7264	.7239
p(2- 7)	.8352	.9134	.7665	.7598	.8740	.8708	.8635	.8639
p(2- 8)	.8205	.8109	.8578	.8568	.6897	.7099	.7592	.7631
p(2-14)	.7404	.7146	.7575	.7554	.7525	.7451	.7427	.7401
(p 3- 8)	.8205	.8555	.7705	.7764	.7150	.7405	.7926	.7979
p(3- 9)	.8352	.8600	.8813	.8737	.8462	.8198	.8259	.8262
p(3-15)	.7404	.7180	.7445	.7435	.7556	.7516	.7456	.7427
p(4- 9)	.8352	.8077	.7948	.7871	.7942	.7626	.7759	.7754
p(4-10)	.8205	.9107	.8712	.8810	.7666	.8154	.8441	.8492
p(4-16)	.7404	.7170	.7404	.7386	.7563	.7467	.7447	.7421
p(5-10)	.8205	.7300	.7407	.7500	.6074	.6510	.6780	.6807
p(5-11)	.8352	1.0528	.9862	.9769	1.0213	.9831	.9862	.9868
p(5-17)	.7404	.6922	.7212	.7201	.7276	.7236	.7234	.7211
p(6-11)	.8352	.5878	.6970	.6715	.5664	.5315	.5477	.5471
p(6-12)	.8205	.5878	.3238	.3189	.4616	.4734	.5228	.5263
p(6-18)	.7404	.6515	.7240	.7202	.6808	.6885	.6809	.6781
p(13-19)	.9442	.9541	.9303	.9305	.9420	.9425	.9452	.9458
p(14-10)	.9442	.9503	.9397	.9394	.9391	.9396	.9429	.9422
p(15-21)	.9442	.9490	.9430	.9429	.9382	.9380	.9405	.9412
p(16-22)	.9442	.9498	.9443	.9442	.9389	.9391	.9413	.9419
p(17-23)	.9442	.9543	.9481	.9462	.9450	.9459	.9460	.9465
p(18-24)	.9442	.9795	.9684	.9724	.9554	.9752	.9750	.9752
p(8-25)	—	—	—	—	.3023	.2546	.0840	.0831
p(10-25)	—	—	—	—	.2891	.2598	.1068	.1066
p(12-25)	—	—	.9396	.8399	.4164	.3762	.1338	.1337
p(25-26)	—	—	—	.0764	—	.4784	—	.2123
p(26-27)	—	—	—	2.6157	—	2.6165	—	2.6159

a) all T are Si

Table 8. Bond orders, p, for interaction of CO molecules with cluster I-X (Si/Al=2)

	I	I H	I HCO	I Li	I LiCO	I Na	I NaCO
p(1- 7)	.8142	.9719	.9527	.7913	.8057	.8055	.8051
p(1-12)	1.0119	.5725	.5624	.8784	.8721	.9163	.9185
p(1-13)	.6686	.7708	.7638	.7100	.7084	.6999	.6990
p(2- 7)	.8187	.6825	.6848	.7982	.8116	.8122	.8115
p(2- 8)	1.0262	1.0417	1.0414	.8787	.8732	.9234	.9261
p(2-14)	.6654	.7155	.7151	.7062	.7044	.6966	.6956
p(3- 8)	.6166	.5284	.5320	.4995	.4905	.5473	.5439
p(3- 9)	.6047	.6195	.6120	.5586	.5663	.5623	.5642
p(3-15)	.6261	.6570	.6584	.6598	.6596	.6634	.6617
p(4- 9)	1.0222	1.0175	1.0093	.9511	.9610	.9488	.9552
p(4-10)	.8241	.7703	.7798	.7549	.7485	.7813	.7751
p(4-16)	.6665	.6913	.6911	.6968	.7044	.6983	.6972
p(5-10)	.8254	.8350	.8438	.7561	.7504	.7830	.7768
p(5-11)	1.0202	.9515	.9444	.9486	.9586	.9459	.9524
p(5-17)	.6663	.6954	.6913	.6968	.6953	.6978	.6971

Table 8. Continued

	I	I H	I HCO	I Li	I LiCO	I Na	I NaCO
p(6-11)	.6094	.7321	.7125	.5621	.5705	.5654	.5674
p(6-12)	.6112	.3434	.3268	.5015	.4913	.5479	.5441
p(6-18)	.6230	.6934	.6884	.6574	.6573	.6608	.6951
p(13-19)	.9585	.9377	.9378	.9477	.9490	.9509	.9514
p(14-10)	.9591	.9505	.9502	.9485	.9498	.9517	.9521
p(15-21)	.9815	.9792	.9791	.9779	.9781	.9779	.9779
p(16-22)	.9594	.9551	.9550	.9519	.9527	.9521	.9525
p(17-23)	.9594	.9534	.9533	.9518	.9526	.9520	.9524
p(18-24)	.9813	.9751	.9748	.9778	.9781	.9778	.9778
p(8-25)	—	—	—	.4284	.3737	.1203	.1181
p(10-25)	—	—	—	.3124	.2851	.0853	.0818
p(12-25)	—	.9458	.8142	.4229	.3631	.1174	.1150
p(25-26)	—	—	.0819	—	.4339	—	.1956
p(26-27)	—	—	2.6124	—	2.6132	—	2.6144

Table 9. Bond orders, p, for interaction of CO molecules with cluster I-X (Si/Al=1)

	I	I H	I HCO	I Li	I LiCO	I Na	I NaCO
p(1- 7)	.9877	1.0862	1.0741	.9877	.9791	.9265	.9226
p(1-12)	.9682	.5530	.5738	.7999	.8366	.9068	.9207
p(1-13)	.6239	.7297	.7231	.6664	.6563	.6532	.6489
p(2- 7)	.6472	.4949	.5022	.5794	.5977	.5876	.5882
p(2- 8)	.6457	.7089	.7001	.5607	.5798	.6076	.6205
p(2-14)	.6001	.6421	.6438	.6305	.6224	.6267	.6218
p(3- 8)	.9682	.9170	.9173	.8644	.8908	.9182	.9316
p(3- 9)	.9877	.9905	.9886	.9607	.9569	.9284	.9252
p(3-15)	.6239	.6464	.6480	.6605	.6523	.6542	.6498
p(4- 9)	.6472	.6376	.6400	.6293	.6251	.5977	.5987
p(4-10)	.6457	.5989	.6003	.5138	.5380	.6034	.6162
p(4-16)	.6001	.6238	.6246	.6313	.6223	.6257	.6205
p(5-10)	.9682	.9896	.9876	.8157	.8495	.9200	.9332
p(5-11)	.9877	.9030	.9023	.9571	.9513	.9246	.9215
p(5-17)	.6239	.6548	.6576	.6645	.6548	.6541	.6498
p(6-11)	.6472	.7742	.7557	.5991	.5958	.5951	.5958
p(6-12)	.6457	.3616	.3625	.5240	.5467	.6001	.6135
p(6-18)	.6001	.6665	.6627	.6293	.6196	.6248	.6196
p(13-19)	.9646	.9495	.9498	.9573	.9586	.9558	.9591
p(14-10)	.9826	.9803	.9802	.9807	.9813	.9806	.9809
p(15-21)	.9646	.9615	.9613	.9584	.9594	.9590	.9593
p(16-22)	.9826	.9815	.9816	.9806	.9812	.9807	.9809
p(17-23)	.9646	.9601	.9598	.9568	.9581	.9590	.9592
p(18-24)	.9826	.9784	.9784	.9803	.9810	.9805	.9808
p(8-25)	—	—	—	.3941	.2769	.1254	.1278
p(10-25)	—	—	—	.4135	.3767	.1250	.1273
p(12-25)	—	.9539	.8204	.4210	.3850	.1265	.1287
p(25-26)	—	—	.0874	—	.4306	—	.1794
p(26-27)	—	—	2.5999	—	2.6032	—	2.6074

에 따라 거의 직선적으로 Low-frequency shift 됨과 일치한다[3].

3-3. 세울라이트의 전자구조에 대한 양이온의 영향

세울라이트의 양이온자리 (Cation site)에 양이온이 도입되면 세울라이트의 전자상태는 매우 다양해진다. 양이온의 종류에는 물론 양이온의 위치에도 상당한 영향이 있다.

Table 10. Bond orders, p, for interaction of CO molecules with cluster I-X (Si/Al=5)

	I Be	I BeCO	I Mg	I MgCO	I Ca	I CaCO
p(1- 7)	.7911	.7456	.7070	.7095	.6916	.6918
p(1-12)	.6428	.6770	.8293	.8391	.9758	.9774
p(1-13)	.8043	.8016	.7746	.7710	.7380	.7369
p(2- 7)	.8359	.8546	.8394	.8415	.8554	.8557
p(2- 8)	.6367	.5531	.6718	.6847	.7539	.7554
p(2-14)	.8006	.8199	.7847	.7783	.7553	.7543
p(3- 8)	.6225	.5328	.6894	.7055	.7859	.7873
p(3- 9)	.8697	.9023	.8172	.8082	.8164	.8168
p(3-15)	.7997	.8173	.7875	.7817	.7588	.7577
p(4- 9)	.8097	.7668	.7526	.7491	.7616	.7620
p(4-10)	.6684	.7368	.7667	.7824	.8410	.8423
p(4-16)	.8038	.7987	.7833	.7751	.7592	.7582
p(5-10)	.5275	.5645	.6084	.6315	.6738	.6749
p(5-11)	1.0162	1.0184	.9152	.9128	.9907	.9913
p(5-17)	.7741	.7684	.7719	.7675	.7342	.7331
p(6-11)	.5876	.6013	.4996	.4979	.5496	.5501
p(6-12)	.3418	.3462	.4437	.4516	.5236	.5248
p(6-18)	.7384	.7370	.7346	.7338	.6922	.6908
p(13-19)	.9233	.9229	.9297	.9307	.9401	.9451
p(14-10)	.9255	.9215	.9280	.9289	.9355	.9358
p(15-21)	.9268	.9240	.9274	.9279	.9343	.9346
p(16-22)	.9269	.9286	.9286	.9292	.9353	.9356
p(17-23)	.9340	.9369	.9342	.9352	.9409	.9412
p(18-24)	.9669	.9678	.9663	.9671	.9721	.9723
p(8-25)	.5097	.4339	.2975	.2636	.0597	.0595
p(10-25)	.4739	.2841	.2977	.2732	.0556	.0554
p(12-25)	.9014	.8122	.4338	.4071	.0908	.0906
p(25-26)	—	.7285	—	.3528	—	.0879
p(26-27)	—	2.6285	—	2.6875	—	2.6387

Table 11. Bond orders, p, for interaction of CO molecules with cluster I-X (Si/Al=2)

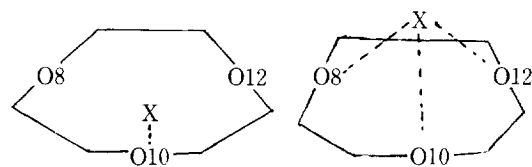
	I Be	I BeCO	I Mg	I MgCO	I Ca	I CaCO
p(1- 7)	.8156	.8177	.7724	.7833	.7882	.7726
p(1-12)	.6942	.7253	.8265	.8358	.9223	.9403
p(1-13)	.7762	.7647	.7447	.7403	.7120	.7103
p(2- 7)	.8250	.8267	.7834	.7925	.7990	.7821
p(2- 8)	.6934	.7245	.8319	.8362	.9299	.9501
p(2-14)	.7725	.7608	.7430	.7370	.7074	.7054
p(3- 8)	.3750	.3882	.4840	.4875	.5486	.5595
p(3- 9)	.6310	.6388	.5218	.5240	.5573	.5600
p(3-15)	.7046	.6939	.7028	.6997	.6734	.6663
p(4- 9)	1.0314	1.0413	.9005	.9029	.9511	.9603
p(4-10)	.5767	.5933	.7051	.7161	.7705	.7648
p(4-16)	.7487	.7386	.7396	.7329	.7103	.7080
p(5-10)	.5776	.5941	.7057	.7172	.7699	.7649
p(5-11)	1.0298	1.0397	.8989	.9009	.9507	.9596
p(5-17)	.7487	.7385	.7383	.7329	.7103	.7079
p(6-11)	.6358	.6434	.5261	.5265	.5603	.5638
p(6-12)	.3778	.3911	.4875	.4921	.5480	.5573
p(6-18)	.7020	.6914	.7004	.6965	.6716	.6645
p(13-19)	.9320	.9351	.9384	.9394	.9464	.9467
p(14-10)	.9329	.9361	.9422	.9402	.9473	.9475
p(15-21)	.9720	.9735	.9714	.9721	.9753	.9756
p(16-22)	.9415	.9435	.9442	.9431	.9474	.9475
p(17-23)	.9415	.9435	.9425	.9430	.9474	.9476
p(18-24)	.9720	.9735	.9733	.9721	.9753	.9755
p(8-25)	.7948	.6866	.4057	.3664	.0843	.0873
p(10-25)	.4466	.3945	.3167	.2942	.0559	.0541
p(12-25)	.7849	.6778	.3960	.3575	.0806	.0833
p(25-26)	—	.6908	—	.3111	—	.0757
p(26-27)	—	2.6151	—	2.6764	—	2.6314

Table 12. Bond orders, p, for interaction of CO molecules with cluster I-X (Si/Al=1)

	I Be	I BeCO	I Mg	I MgCO	I Ca	I CaCO
p(1- 7)	1.0333	1.0413	.9033	.9606	.9227	.9215
p(1-12)	.6132	.6354	.8161	.7555	.8879	.9121
p(1-13)	.7259	.7153	.6982	.6974	.6685	.6632
p(2- 7)	.5450	.5666	.5511	.6111	.5858	.5804
p(2- 8)	.5357	.5344	.5463	.4927	.5858	.6079
p(2-14)	.6738	.6657	.6656	.6650	.6441	.6393
p(3- 8)	.7846	.7951	.8186	.7622	.8948	.9186
p(3- 9)	.9629	.9737	.8998	.9564	.9258	.9212
p(3-15)	.7004	.6927	.6988	.6973	.6707	.6654
p(4- 9)	.6421	.6525	.5503	.6093	.5962	.5931
p(4-10)	.4008	.4182	.5482	.4943	.5880	.6010
p(4-16)	.6831	.6749	.6657	.6653	.6432	.6378
p(5-10)	.6475	.6691	.8175	.7607	.8989	.9230

p(5-11)	.9724	.9872	.9012	.9576	.9229	.9174
p(5-17)	.7258	.7124	.6994	.6981	.6698	.6647
p(6-11)	.5669	.5886	.5487	.6090	.5949	.5909
p(6-12)	.4359	.4371	.5508	.4935	.5783	.6001
p(6-18)	.6858	.6747	.6650	.6657	.6416	.6362
p(13-19)	.9474	.9491	.9496	.9503	.9544	.9552
p(14-10)	.9770	.9778	.9763	.9766	.9783	.9788
p(15-21)	.9512	.9525	.9495	.9501	.9545	.9552
p(16-22)	.9761	.9770	.9762	.9765	.9785	.9787
p(17-23)	.9453	.9477	.9495	.9501	.9544	.9553
p(18-24)	.9747	.9759	.9762	.9765	.9782	.9788
p(8-25)	.4601	.4089	.3998	.3295	.0925	.0901
p(10-25)	.7882	.6750	.4006	.3291	.0919	.0894
p(12-25)	.8080	.6889	.4010	.3287	.0928	.0908
p(25-26)	—	.6853	—	.3088	—	.0635
p(26-27)	—	2.6020	—	2.6478	—	2.6274

Fig. 1a에서 양이온과 직접적으로 배위하고 있는 O 원자인 O_o, O₁₀, O₁₂의 전자밀도가 다른 것에 비해 많이 변하는 데, 양이온의 크기에 따라 O 원자와 결합하는 위치가 달라지며 따라서 그 주위의 전자밀도도 달라진다. 예를 들면 H⁺나 Be²⁺ 등과 같이 크기가 작은 양이온일 때에는 O₈, O₁₀, O₁₂ 중의 어느 하나 또는 두 개의 원자에 강하게 결합하고 양이온의 크기가 점점 커지면 3개의 O 원자(O₈, O₁₀, O₁₂)와 비슷한 정도로 결합한다. 즉 양이온의 크기가 작을 때에는 어느 한 쪽의 O 원자에 바짝 붙어 있다가 양이온의 크기가 커지면 그 위치는 6-Ring의 중심쪽으로 이동되어 다음 그림과 같이 6-Ring의 6 개의 T 원자가 이루는 평균평면의 위로 떠오르게 된다.



(a) 양이온의 크기가 작을 때 (b) 양이온의 크기가 클 때

양이온이 O 원자와 결합하면 O 원자의 전자밀도는 변하는 데, 교환된 양이온의 종류에 따라 O 원자의 전자밀도는 $q(O-Na^+) > q(O-Li^+) > q(O-H^+)$ 의 순이다. 예를 들면 Table 3에서 O₁₂ 원자의 전자밀도인 $q(12)$ 를 보면 H⁺의 경우가 -0.542, Li⁺과 Na⁺가 각각 -0.679, -0.702이다. 여기서 Li⁺은 $q(8)$ 과 $q(12)$ 의 전자밀도가 비슷하고 Na⁺는 $q(8)$, $q(10)$, $q(12)$ 의 값이 비슷함을 알 수 있다. 즉 Li⁺은 O₈, O₁₀, O₁₂ 원자와 비슷하게 결합하며, Na⁺는 O₈, O₁₀, O₁₂의 세원자와 비슷한 세기로 결합하고 있음을 알 수 있다.

양이온의 크기가 작을수록 결합하고 있는 O 원자의 전자밀도가 더욱 감소하였는데, 이것은 양이온의 반경이 작을수록 정전기적 장(Electrostatic field)이 크기 때문이다. T-O 간의 결합차수도 양이온과 O 원자(O₈, O₁₀, O₁₂)와 결합함에 따라 변하게 되는 데 전자밀도의 경우와 비슷한 경향을 나타내고 있다.

양이온과 직접 결합하고 있는 O 원자와 T 원자간의 결합차수는 $P_{r-o}(Na^+) > P_{r-o}(Li^+) > P_{r-o}(H^+)$ 의 순이다. 즉 Table 7에서 P(6-12)를 살펴보면 H⁺가 0.32, Li⁺과 Na⁺가 각각 0.46, 0.52임을 알 수 있다. 이것은 양이온의 크기가 작을수록 O 원자와 강하게 결합할 수 있고 또한 T-O 간의 결합력을 더욱 약화시키는 결과가 된다.

2가 양이온이 교환된 경우에도 1가 양이온의 경우

와 비슷한 경향을 보여주고 있다. 즉 양이온과 결합하고 있는 O 원자의 전자밀도도는 $q(O-Ca^{2+}) > q(O-Mg^{2+}) > q(O-Be^{2+})$ 이다. 또한 양이온과 결합하고 있는 O 원자와 이웃한 T 원자간의 결합차수도 $P_{r-o}(Ca^{2+}) > P_{r-o}(Mg^{2+}) > P_{r-o}(Be^{2+})$ 의 순서이었다. 이것은 O 원자와 양이온과의 결합차수의 순서와 역순임을 알 수 있다. 즉 $P(O-H^+) > P(O-Li^+) > P(O-Na^+)$; $P(O-Be^{2+}) > P(O-Mg^{2+}) > P(O-Ca^{2+})$ 의 순서이었다. 예를 들면 Table 9, 12에서 P(12-15)는 H⁺: 0.95, Li⁺: 0.42, Na⁺: 0.13, Be²⁺: 0.79, Mg²⁺: 0.40, Ca²⁺: 0.08이었다.

또한 Table 3-6에서 각 양이온의 전자밀도인 $q(25)$ 는 $q(H) : 0.124$, $q(Li) : 0.156$, $q(Na^+) : 0.146$, $q(Be^{2+}) : 0.400$, $q(Mg^{2+}) : 0.892$, $q(Ca^{2+}) : 1.399$ 이다. 따라서 H⁺, Li⁺, Be²⁺, Mg²⁺는 공유결합성, Ca²⁺는 이온결합성, Na⁺는 부분적인 이온결합성으로 생각된다. 특히 H⁺의 경우에는 Table 7, 8에서 P(O₁₂-H⁺)과 P(12-25)는 0.95 정도로서 거의 표면 OH의 결합차수에 상당한다.

3-4. 제올라이트와 CO의 상호작용

제올라이트에 교환되어 있는 양이온과 CO 간의 상호작용에너지(ΔE)는 Si/Al의 비에 대하여 Table 13에 나타내었다. Table 13에서 CO의 상호작용에너지는 양이온의 정전기적 장의 세기와 같은 순서로 나타났다. 즉 양이온의 종류에 따라 Ba²⁺>Mg²⁺>Li⁺>Ca²⁺>Na⁺>H⁺의 순이었다. 또한 제올라이트의 물결 내에 Al의 양이 증가함에 따라 ΔE 는 감소하였는데, 이것은 Al의 양이 증가함에 따라 제올라이트 물결 내에 교환되어 있는 양이온의 전자밀도가 증가하게 되므로 CO로부터 양이온으로의 전자이동이 불리해지기 때문이다. 즉 교환된 양이온의 전자밀도가 낮을수록 CO와 강하게 결합한다. 이러한 사실은 Table 1-6에서 Si/Al의 비에 따른 양이온의 전자밀도를 보면 곧 알 수 있고,

Table 13. Interaction energies, ΔE (kcal/mol), for interaction of CO molecules with the cations in zeolites for the various Si/Al ratios

Si/Al	Cations					
	H ⁺	Li ⁺	Na ⁺	Be ²⁺	Mg ²⁺	Ca ²⁺
5	24.4	123.6	28.9	207.0	196.0	33.4
2	21.1	96.7	24.8	199.0	191.0	28.1
1	18.5	92.6	18.5	195.1	183.3	23.0

Table 14. Equilibrium distances, R, between the cations and the C atom of CO molecules for the interaction of CO molecules with different Si/Al ratios zeolites

Si/Al	R	I HCO	I LiCO	I NaCO	I BeCO	I MgCO	I CaCO
5	R(X-C)	1.492	2.107	3.081	1.821	2.494	4.276
	R(C-O)	1.189	1.188	1.189	1.184	1.180	1.186
2	R(X-C)	1.501	2.121	3.100	1.838	2.507	4.297
	R(C-O)	1.189	1.189	1.189	1.186	1.182	1.187
1	R(X-C)	1.509	2.145	3.117	1.847	2.511	4.312
	R(C-O)	1.190	1.189	1.189	1.187	1.184	1.189

또한 양이온과 상호작용하고 있는 CO의 전자밀도의 변화로도 쉽게 알 수 있다.

다음은 제올라이트에 교환되어 있는 양이온과 CO가 상호작용할 때의 평형흡착거리를 Si/Al비에 따라 Table 14에 나타내었다. 평형흡착거리는 양이온의 종류에 따라 $H^+ < Be^{2+} < Li^+ < Mg^{2+} < Na^+ < Ca^{2+}$ 의 순서로 양이온의 크기와 같은 순서이었다. H와 CO간의 평형흡착거리, $R(H\cdots C)$ 는 1.5 Å 정도로서 베틸알콜 dimer의 수소결합거리, $R(H\cdots O)$ 인 1.5 Å와 같았다[4]. Na와 CO간의 흡착거리는 3.1 Å 정도로서 Na^+ 와 벤젠간의 흡착거리인 3.1 Å, Na^+ 와 톨루엔의 흡착거리인 3.2 Å와 거의 같았다. Mg²⁺와 CO간의 평형흡착거리로 2.5 Å 정도로서 Mg²⁺와 벤젠간의 2.3 Å, Mg²⁺와 톨루엔간의 2.6 Å와 비슷한 값이었다[5]. 즉 양이온과 CO간의 평형흡착거리로 제올라이트나 흡착분자의 전자상태에도 약간의 영향은 있지만 그보다도 양이온의 크기가 정전기적 장의 세기에 관련이 많은 것으로 생각된다.

3-5. CO Bond Frequency

제올라이트에 교환된 양이온과 CO가 상호작용하면 C-O간의 결합강도는 변화를 가져오게 된다. Free CO의 IR 흡수띠는 2143 cm⁻¹에서 나타나는데, CO가 양이온과 상호작용하면 흡수피크는 높은 파수쪽으로 이동한다. 만일 양이온이 전이금속의 경우에는 Back-donation에 의하여 흡수띠는 낮은 파수쪽으로 이동한다. CNDO/2 계산에서도 양이온과 상호작용할 때의 CO 결합차수로 2.577인 데, 양이온과 결합하면 2.600-2.688 정도로 증가한다. 여기서는 Angell[6, 7] 등이 X-, Y-type 제올라이트에 CO가 흡착될 때 얻은 CO의 IR 진동수와 CNDO/2 계산으로 얻어진 C-O간의 결합차수와의 상관관계를 조사하였다.

X-type 제올라이트는 Si/Al의 비가 1일 때이고, Y-type 제올라이트는 꿀격 중의 70% 정도가 Si/Al

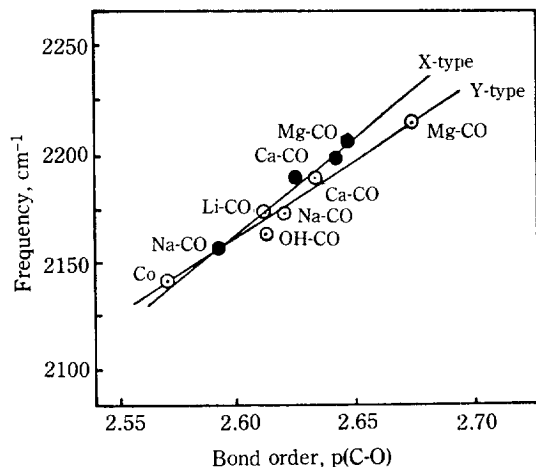
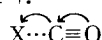


Fig. 2. Correlation between the vibrational frequencies, $\nu_{C=O}$, of CO interacting with the cations located in the zeolites and the bond orders calculated for corresponding CO, $p(C-O)$.

의 비가 2이므로, Si/Al의 비가 각각 1, 2일 때의 CNDO/2 계산으로 얻어진 C-O 결합차수와 X-, Y-type 제올라이트에서 얻어진 CO의 진동수를 plot하여 Fig. 2에 나타내었다. 그림에서 알 수 있듯이 이들은 좋은 직선관계를 보여주었다. Table 7-12에서도 알 수 있듯이 제올라이트 꿀격 내의 Al의 양이 증가하면 C-O 결합차수가 감소하는 데, Fig. 2에서도 Y-type에 흡착된 CO가 X-type에 흡착된 CO보다 더 낮은 파수에서 나타났다. 이것은 제올라이트 꿀격 내에 Al의 양이 증가하면 CO로부터 양이온으로의 전자의 이동이 적어지고 따라서 C-O 결합차수에 변화가 적어지기 때문이다. 결국 C-O 결합의 강화는 CO분자와 O원자의 전자가 다음 그림과 같이 이동하면서 일어난다.



즉 O 원자의 비결합전자가 결합에 참여함으로써 C-O 결합의 강화가 일어난다.

따라서, 만일 CO 가 X···O≡C 의 형태로 결합이 일어난다면 C 원자는 비결합전자가 없으므로 O-C 간의 결합은 약화되며 IR 의 낮은 파수로 이동할 것이다. CNDO/2 계산에 의해서도 이러한 사실은 확인되어 있다[8]. X···C≡O type 의 interaction 에너지는 X···O≡C 의 경우보다 2배 가량 된다.

4. 결 론

여러 가지 양이온이 교환된 제올라이트와 CO 간의 상호작용을 CNDO/2 법으로 계산하였다.

제올라이트에 교환된 양이온과 CO 간의 상호작용의 세기는 $\text{Be}^{2+} > \text{Mg}^{2+} > \text{Li}^+ > \text{Ca}^{2+} > \text{Na}^+ > \text{H}^+$ 의 순서 이었으며, 이것은 양이온의 정전기적 정의 세기와 일치하였다.

CO 분자가 제올라이트에 흡착될 때 CO 의 C-O 간

결합차수는 증가하였으며, 이것은 IR 결과와 좋은 상관관계를 나타내었다.

REFERENCES

1. Kieselev, A.V. and Lygin, V.I.: "Infrared Spectra of Surface Compounds", Wiley, New York (1975).
2. Breck, D.W.: "Zeolite Molecular Sieve", Wiley, New York (1974).
3. Flanigen, E.M., Khatami, H., and Szymanski, H.A.: *Adv. Chem. Series*, **101**, 201 (1971).
4. 김종택, 박두선: 대한화학회지, **31**, 3(1987).
5. Geschke, D., Hoffmann, W.D., and Deininger, D.: *Sur. Science*, **57**, 559 (1976).
6. Angell, C.L. and Schaffer, P.C.: *J. Phys. Chem.*, **70**, 1423 (1966).
7. Angell, C.L. and Schaffer, P.C.: *J. Phys. Chem.*, **70**, 2420 (1966).
8. 김종택, 박두선: 대한화학회지, **31**, 14(1987).